

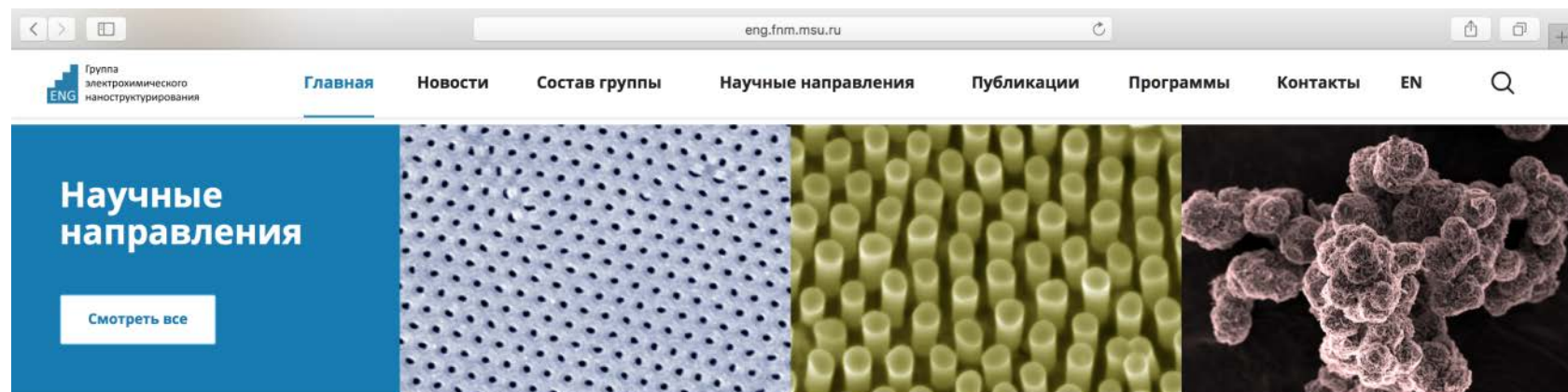
**Научные направления,
развиваемые в группе
электрохимического
наноструктурирования**

К.С. Напольский

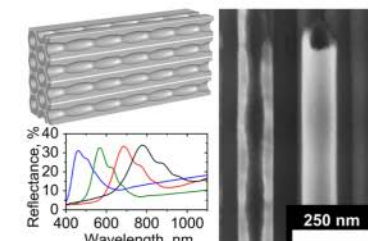
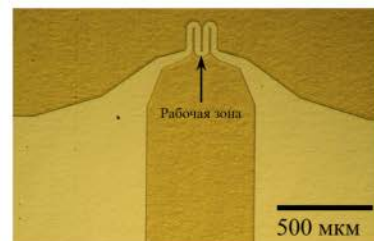
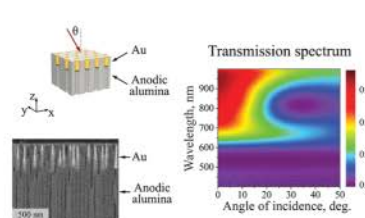
Группа электрохимического наноструктурирования

Лаборатории: Ц01А (каф. эл-химии), 549, 556 (каф. неорг. химии) ХФ МГУ

Сайт в интернете: eng.fnm.msu.ru



Новости



Состав группы

5 кандидатов химических наук



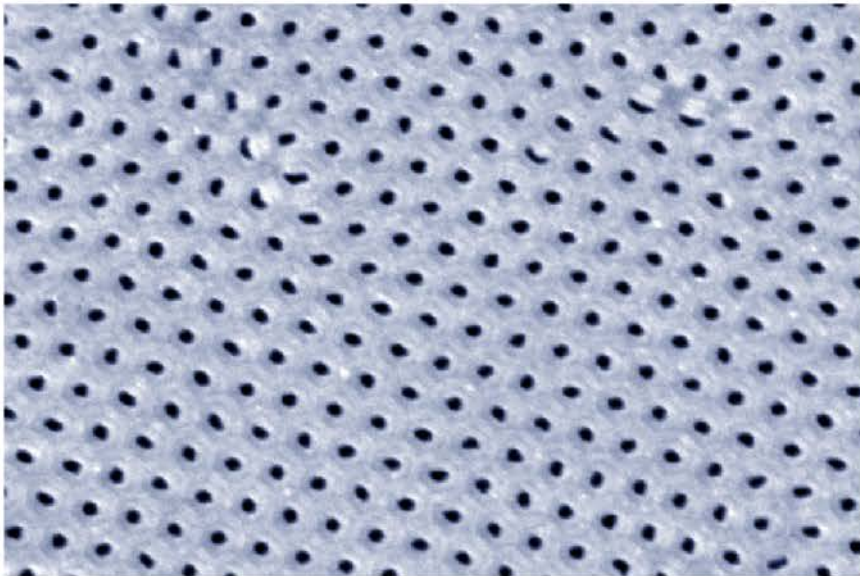
4 аспиранта



3 студента 5-6 курсов, 13 студентов 1-3 курсов ФНМ и ХФ МГУ

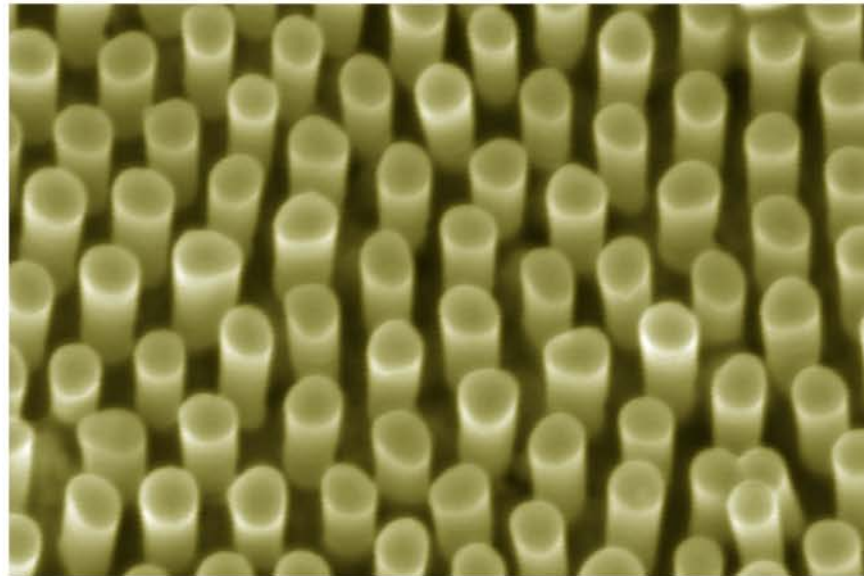


Научные направления



Пористые плёнки анодных оксидов вентильных металлов

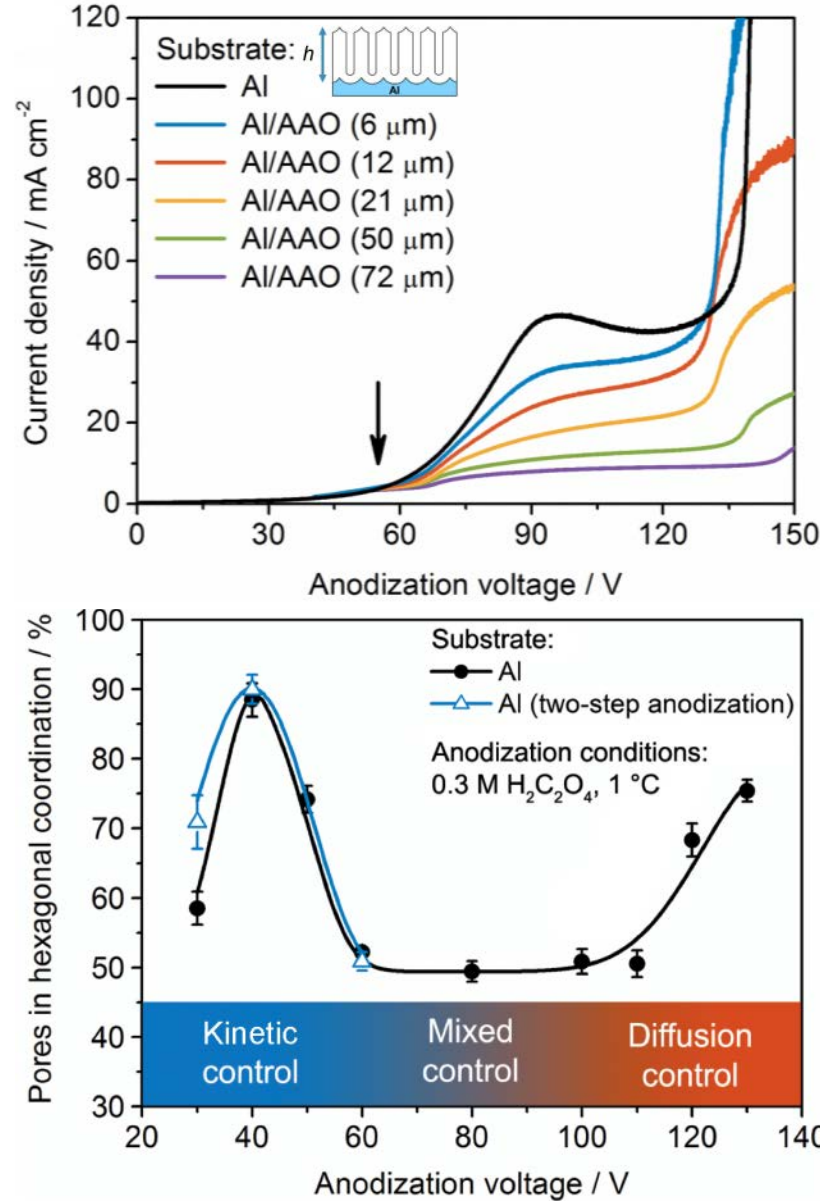
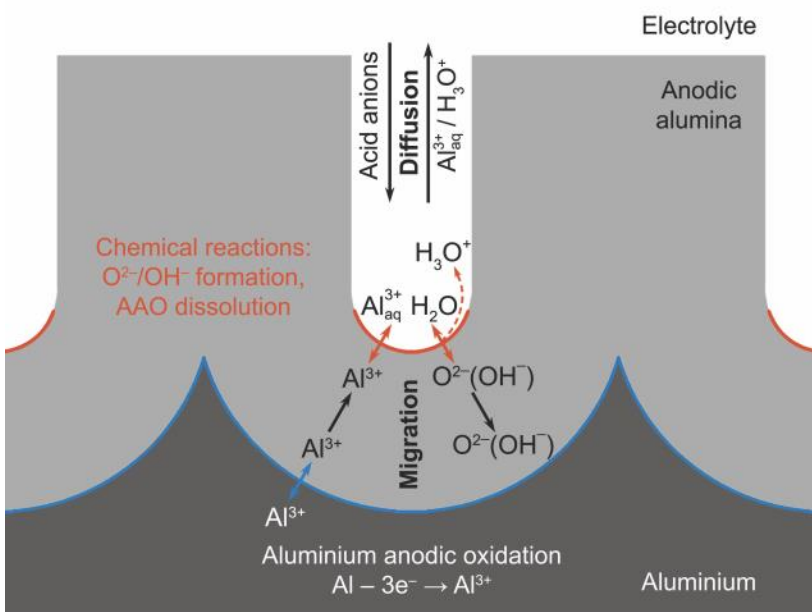
- получение пористых плёнок анодного оксида алюминия с упорядоченной структурой
- создание 1D фотонных кристаллов на основе анодных оксидов алюминия и титана



Металлические нанонити

- получение единичных нанонитей для задач сверхпроводящей микроэлектроники
- создание гиперболических метаматериалов на основе массива нанонитей

Самоупорядочение пористой структуры анодного оксида алюминия



I.V. Roslyakov, E.O. Gordeeva, K.S. Napolskii,
Electrochim. Acta 241 (2017) 362.

Самоупорядочение пористой структуры

eng.fnm.msu.ru

Группа электрохимического наноструктурирования

Группа электрохимического наноструктурирования

Химический факультет МГУ
Москва, Ленинские горы, 1,
стр. 3

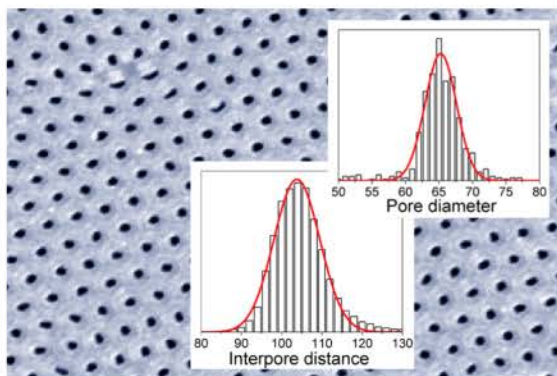
+7 (916) 23-23-829
Заказать звонок

Главная Новости Состав группы Научные направления Публикации Программы Контакты EN Q

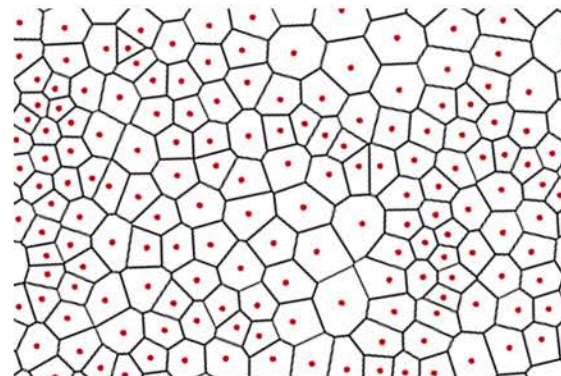
Программы

Главная > Программы

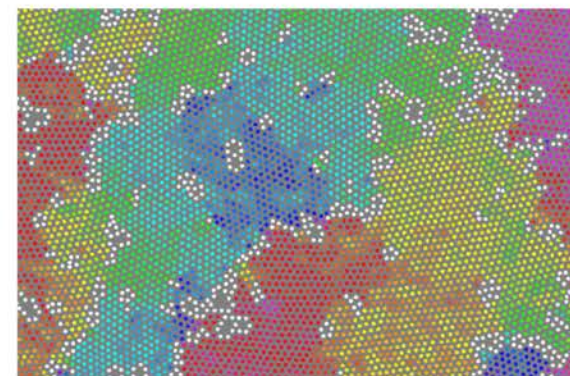
[Все проекты](#) Статистический анализ изображений Алгоритм Вороного Алгоритм цветовой кодировки



Статистический анализ изображений



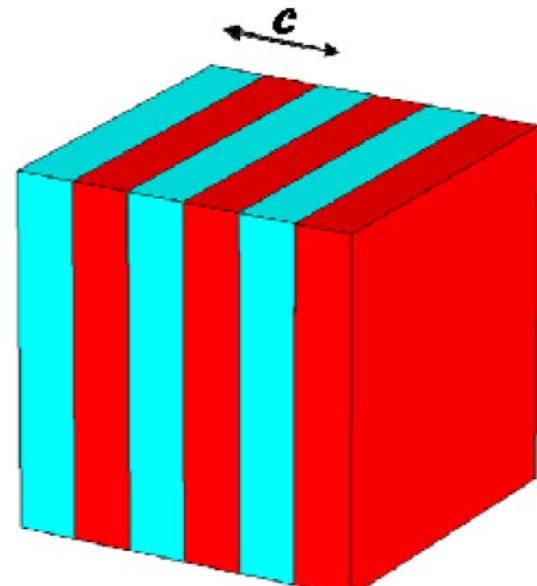
Алгоритм Вороного



Алгоритм цветовой кодировки

Создание 1D фотонных кристаллов

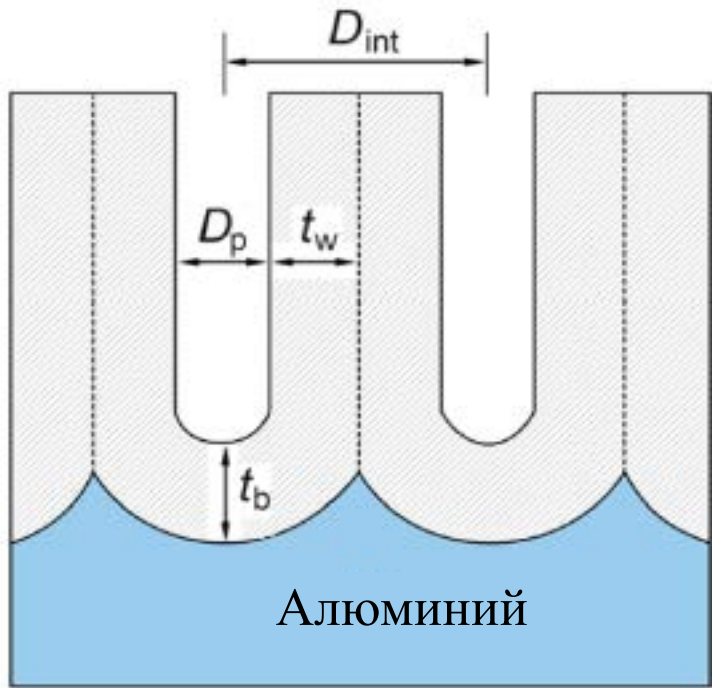
1. S.E. Kushnir, T.Yu. Pchelyakova, K.S. Napolskii, Anodizing with voltage versus optical path length modulation: a new tool for the preparation of photonic structures // **Journal of Materials Chemistry C**, 2018, v. 6(45), pp. 12192–12199.
2. S.E. Kushnir, K.S. Napolskii. Thickness-dependent iridescence of one-dimensional photonic crystals based on anodic alumina // **Materials & Design**, 2018, v. 144, pp. 140–150.
3. N.A. Sapoletova, S.E. Kushnir, K.S. Napolskii. Anodic titanium oxide photonic crystals prepared by novel cyclic anodizing with voltage versus charge modulation // **Electrochemistry Communications**, 2018, v. 91, pp. 5–9.
4. A.I. Sadykov, S.E. Kushnir, I.V. Roslyakov, A.E. Baranchikov, K.S. Napolskii. Selenic acid anodizing of aluminium for preparation of 1D photonic crystals // **Electrochemistry Communications**, 2019, submitted.



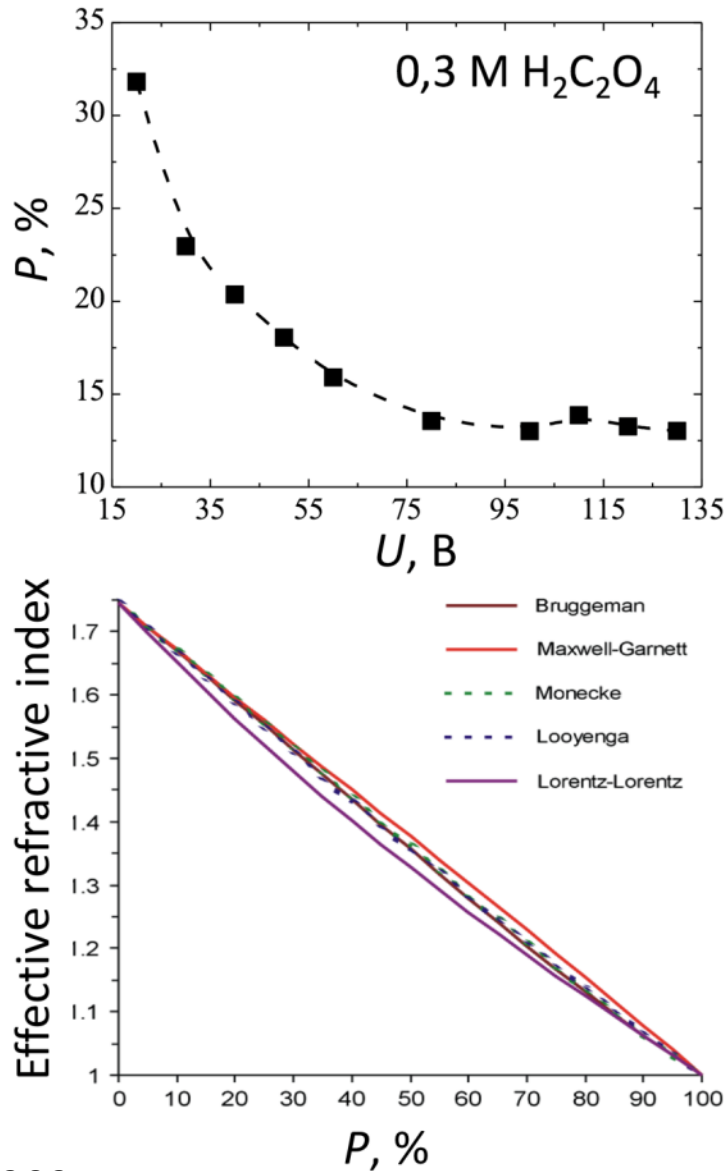
1-D



Создание 1D фотонных кристаллов



$$n_{eff} = \sqrt{n_{Al_2O_3}^2 - P(n_{Al_2O_3}^2 - n_{air}^2)}$$

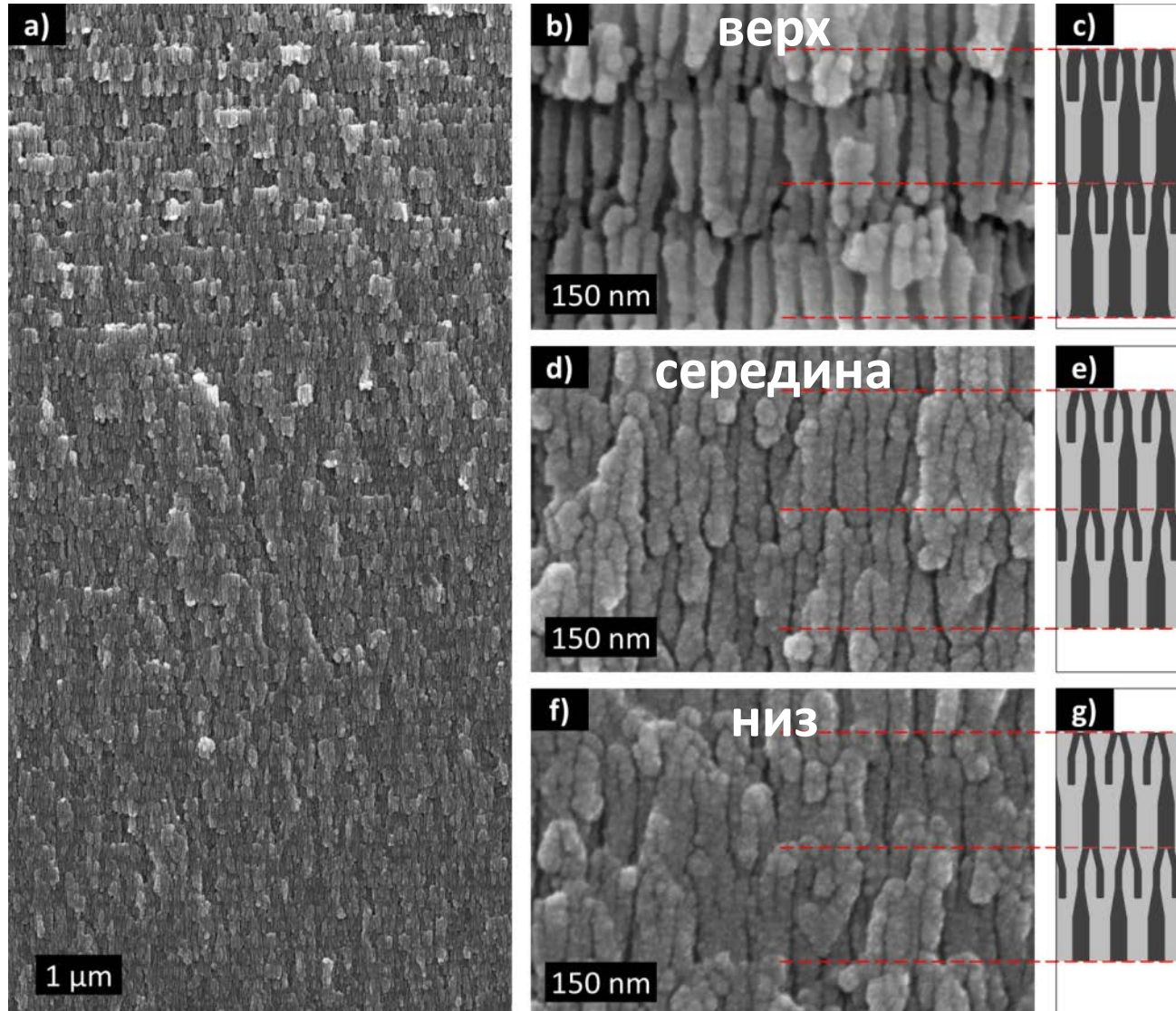


W. Lee, S.-J. Park, Chem. Rev. 114 (2014) 7487.

G.D. Sulka, K. Hnida, Nanotechnology. 23 (2012) 075303.

Е.О. Гордеева и др., Электрохимия, 54 (2018) 999.

Создание 1D фотонных кристаллов

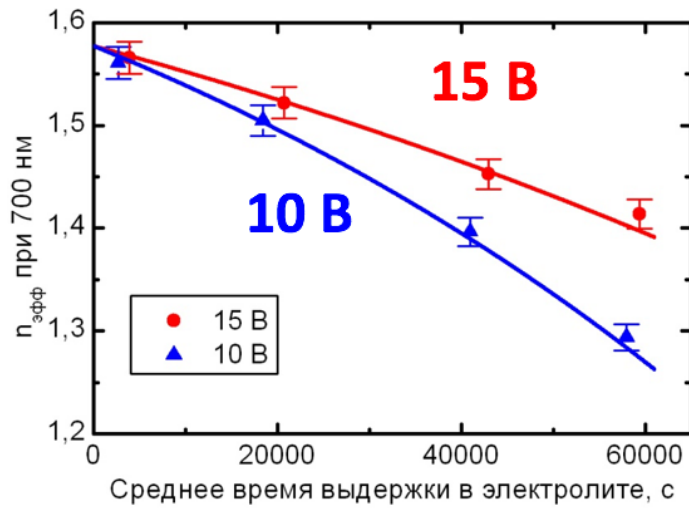


Стенки пор медленно растворяются в электролите анодирования

S.E. Kushnir, K.S. Napolskii, Materials and Design 144 (2018) 140–150.

Создание 1D фотонных кристаллов

Анодирование Al в 2 М H_2SO_4 при температуре 2 °C



$$p = \frac{\pi}{2\sqrt{3}} \left(\frac{D_p}{D_{int}} \right)^2$$

p – пористость
 D_p – диаметр поры
 D_{int} – расстояние между центрами пор

$$p(U, t) = \frac{\pi}{2\sqrt{3}} \left(\frac{k_{Dp} U + 2vt}{k_{Dint} U} \right)^2$$

Скорость растворения стенок пор
 k_{Dp} и k_{Dint} – коэффициенты пропорциональности между напряжением и D_p и D_{int}

$$n_{AAO}(\lambda) = \sqrt{n_{Al_2O_3}^2(\lambda) - (n_{Al_2O_3}^2(\lambda) - n_{air}^2(\lambda))p}$$

Показатель преломления: $n_{AAO}(\lambda) = \sqrt{n_{Al_2O_3}^2(\lambda) - (n_{Al_2O_3}^2(\lambda) - n_{air}^2(\lambda)) \times \frac{\pi}{2\sqrt{3}} \left(\frac{k_{Dp} U + 2vt}{k_{Dint} U} \right)^2}$

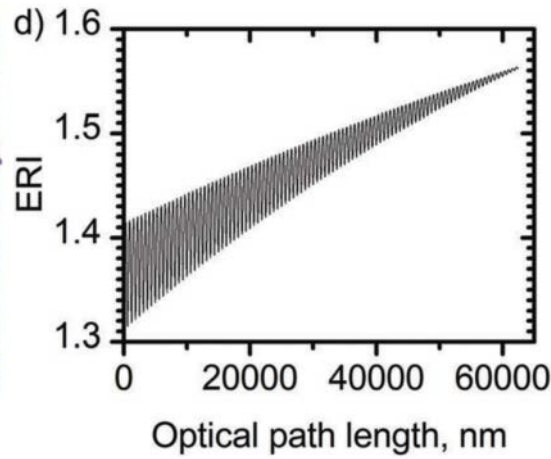
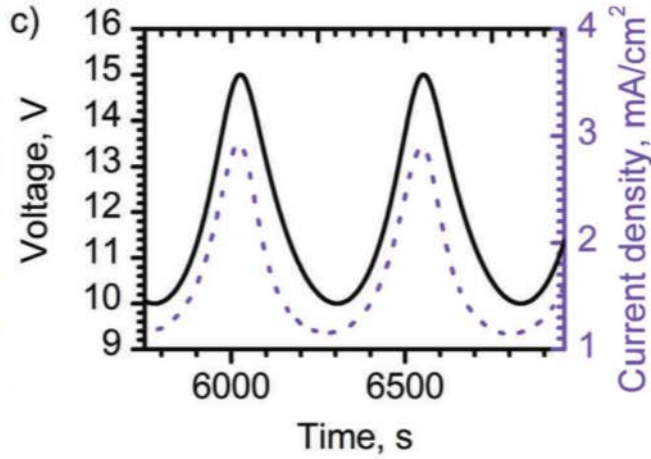
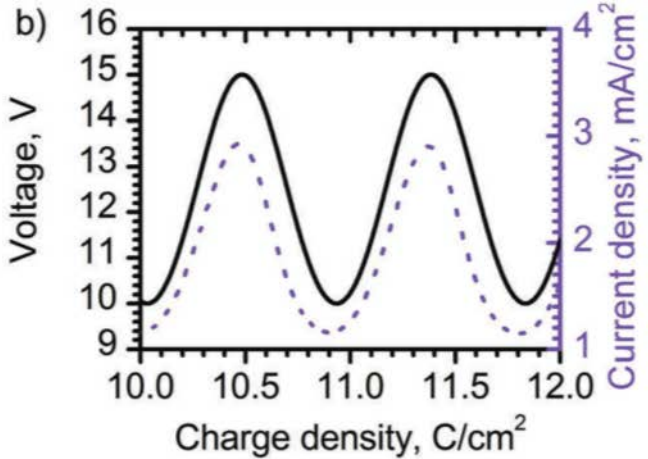
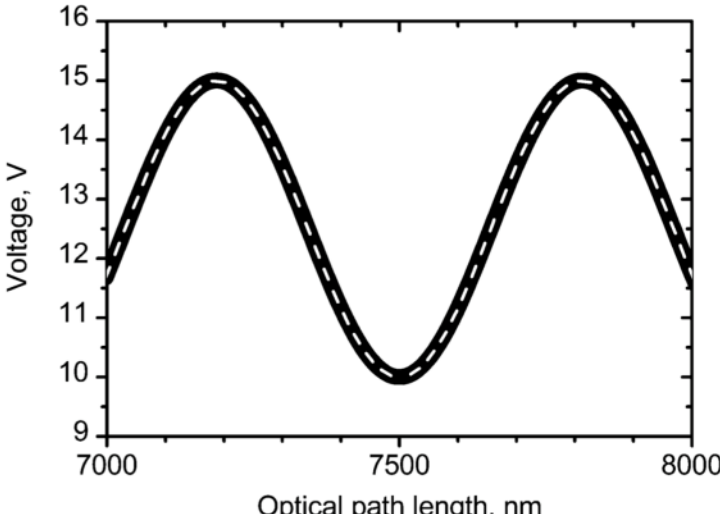
Толщина: $h = (5.03U + 434.11) \times Q/S$

Скорость растворения v : $(65 \pm 3) \cdot 10^{-6}$ нм/с

Создание 1D фотонных кристаллов

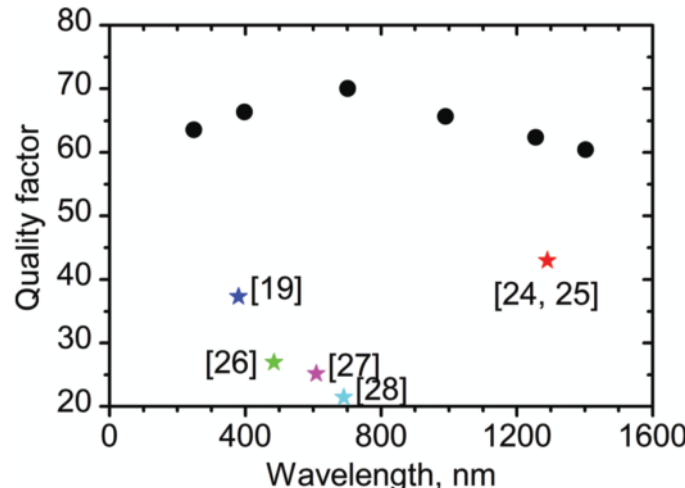
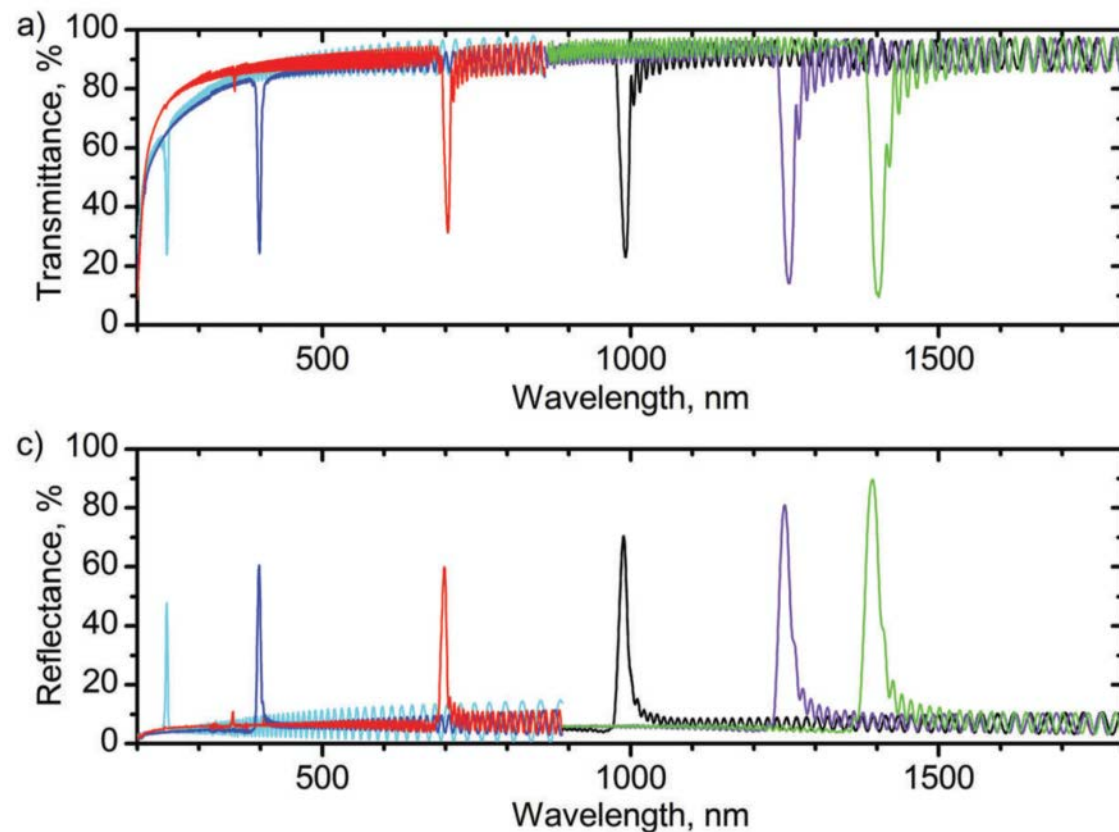
$$U \rightarrow I(t) \rightarrow Q(t) \rightarrow H(t) \rightarrow L$$

$$U(L) = 12.5 + 2.5 \cdot \sin\left(\frac{2\pi L}{L_0} - \pi\right)$$



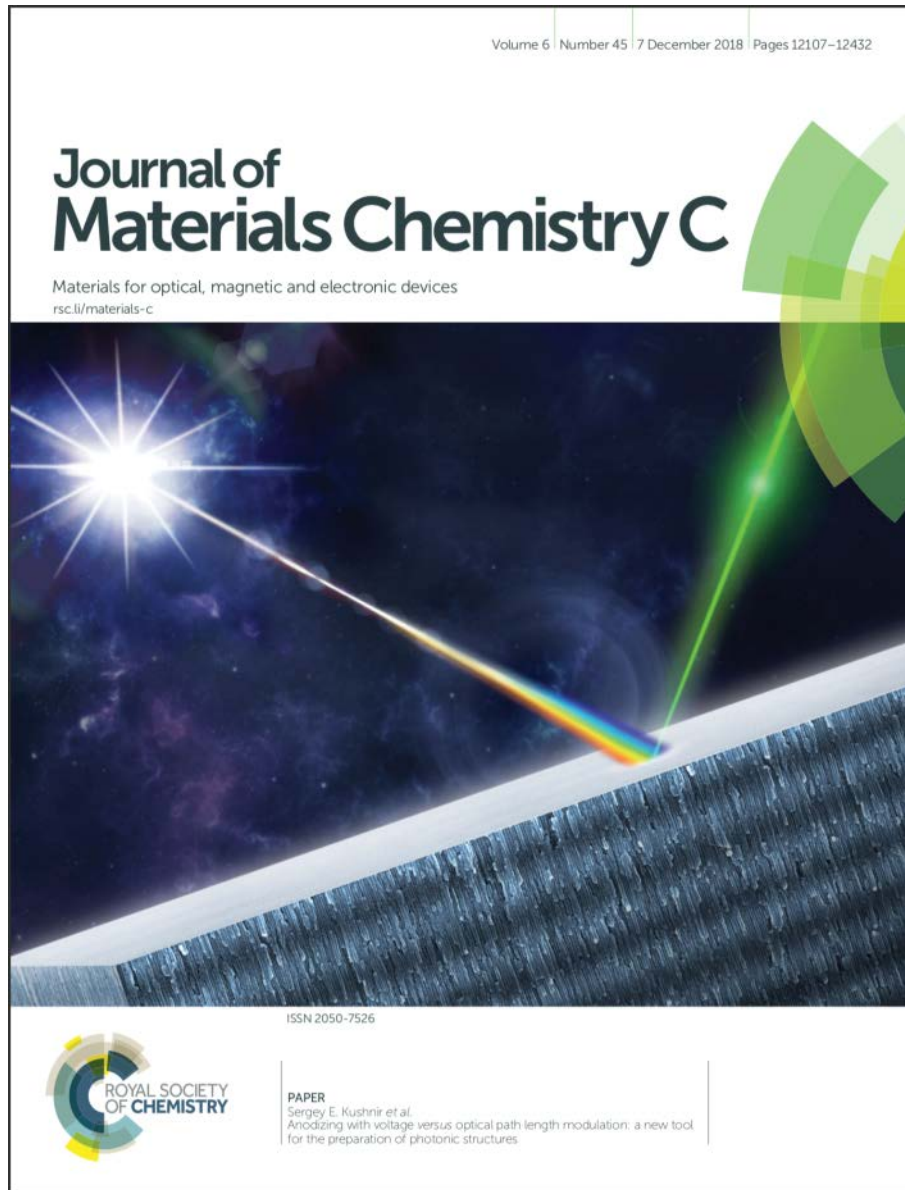
Создание 1D фотонных кристаллов

$$\lambda = 2L$$



Погрешность задания положения фотонных запрещённых зон не превышает 1%,
добротность Ф33 существенно превышает известные аналоги

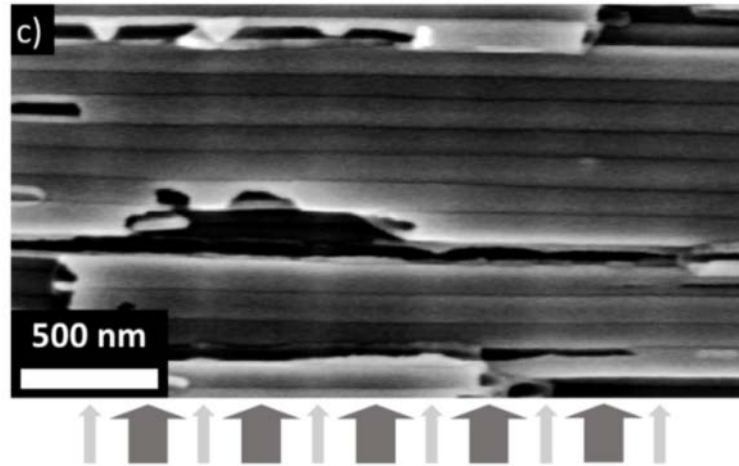
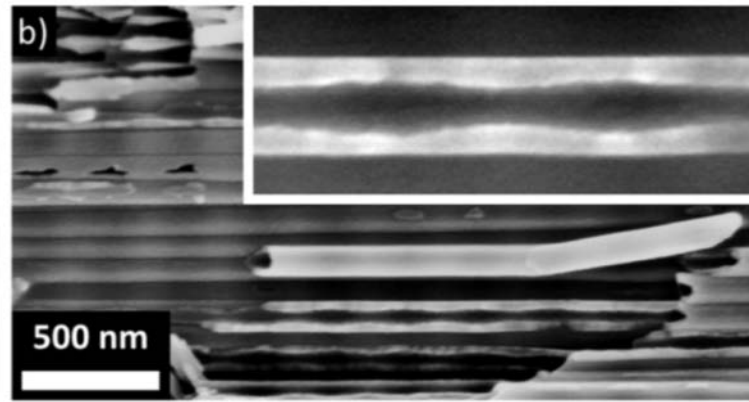
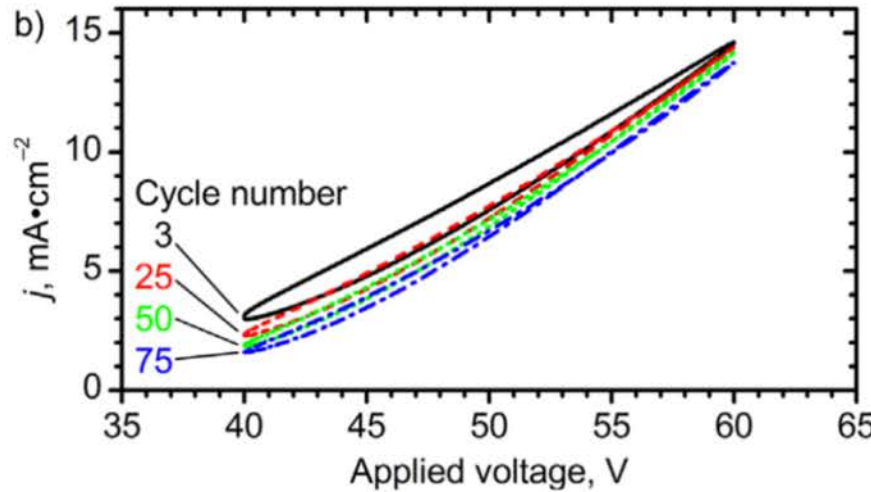
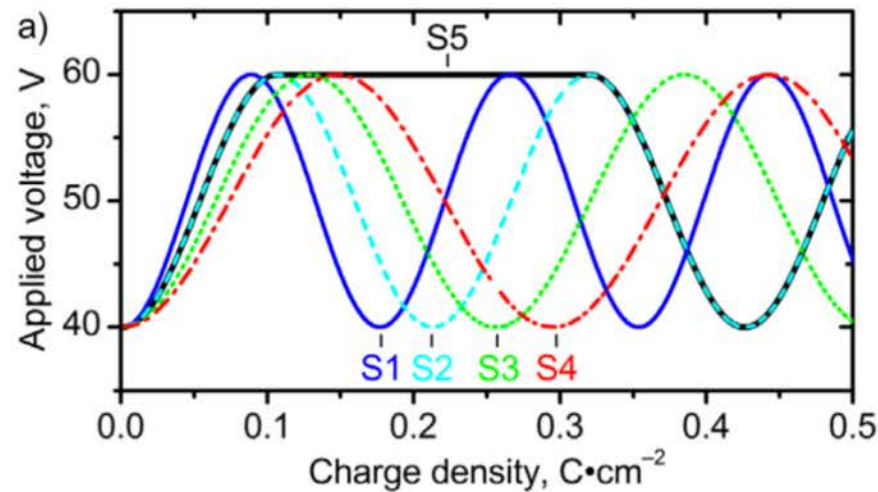
Создание 1D фотонных кристаллов



S.E. Kushnir, T.Yu. Pchelyakova, K.S. Napolskii, Journal of Materials Chemistry C, 6 (2018) 12192.

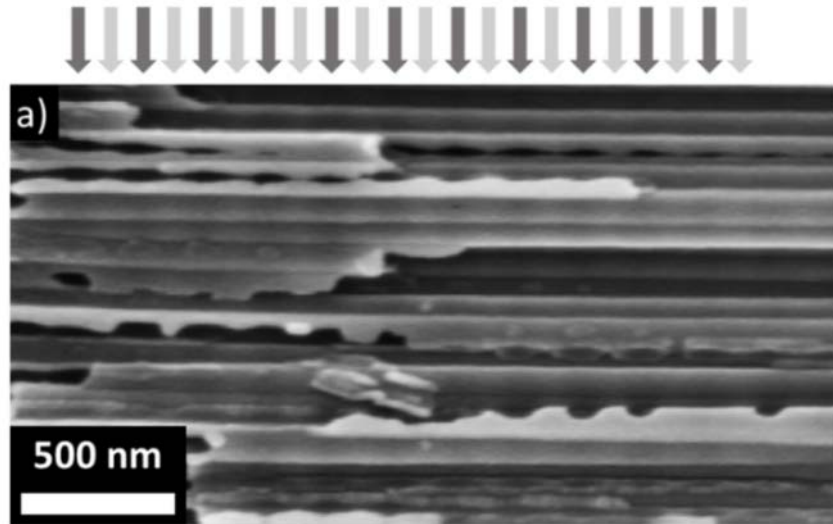
Создание 1D фотонных кристаллов (TiO_2)

Анодирование Ti в 0.3 wt% NH_4F , 0.66 wt% CH_3COONa , 2 wt% H_2O при температуре 30 °C

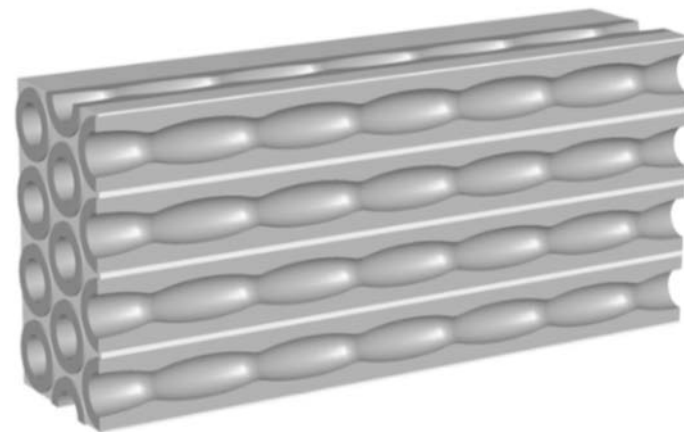


N.A. Sapoletova, S.E. Kushnir, K.S. Napolskii. Anodic titanium oxide photonic crystals prepared by novel cyclic anodizing with voltage versus charge modulation // **Electrochemistry Communications**, 2018, v. 91, pp. 5–9.

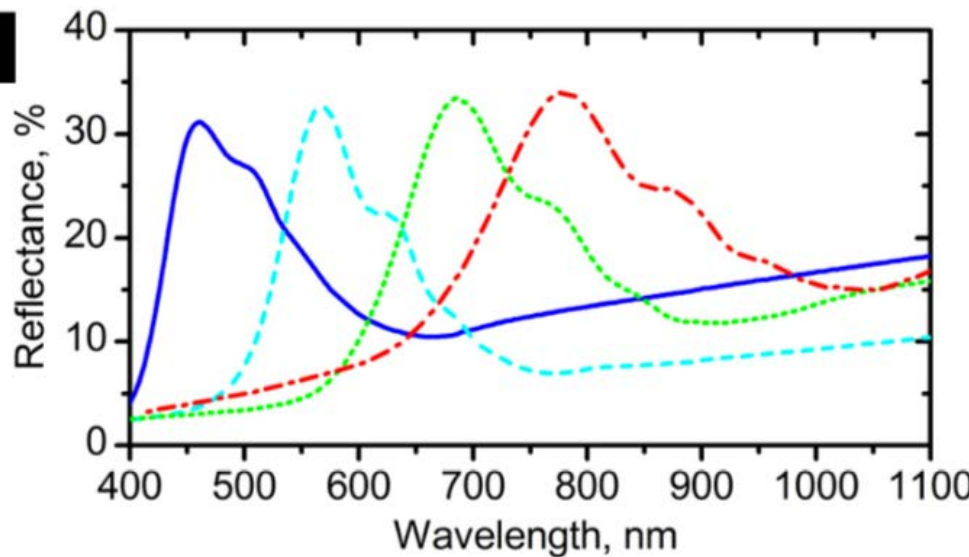
Создание 1D фотонных кристаллов (TiO_2)



h)



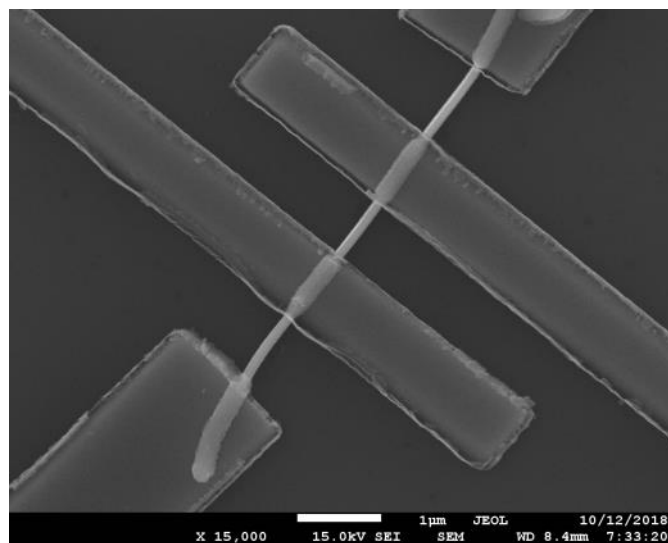
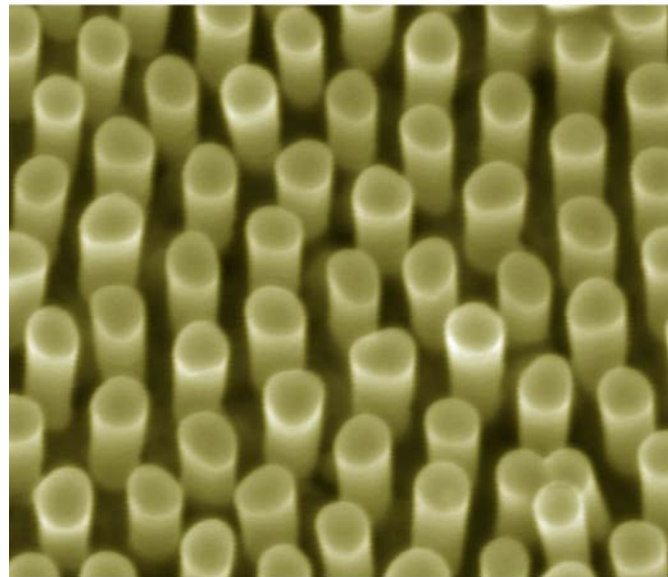
j)



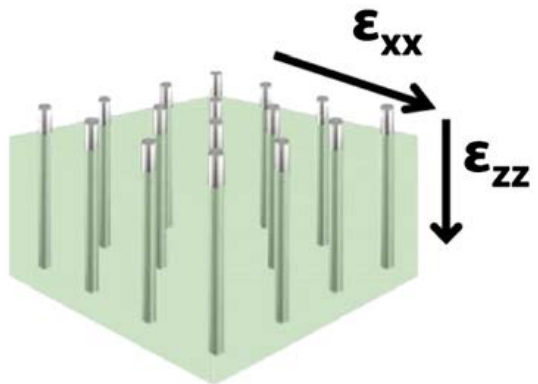
N.A. Sapoletova, S.E. Kushnir, K.S. Napolskii. Anodic titanium oxide photonic crystals prepared by novel cyclic anodizing with voltage versus charge modulation // **Electrochemistry Communications**, 2018, v. 91, pp. 5–9.

Темплатное электроосаждение нанонитей

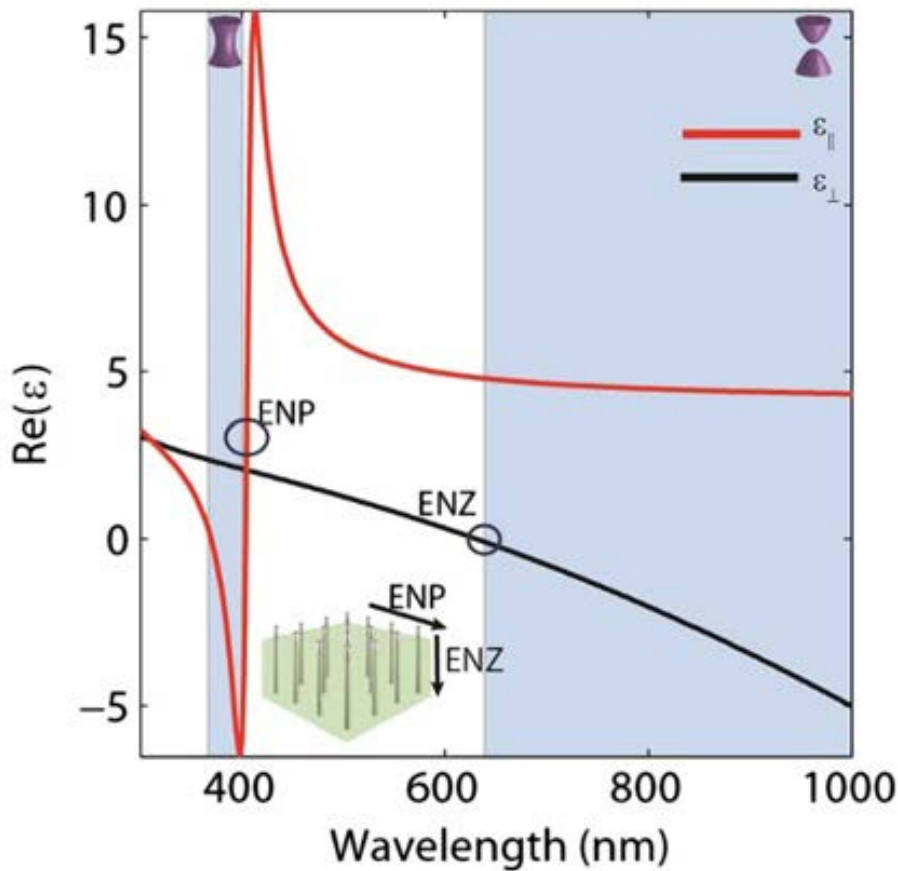
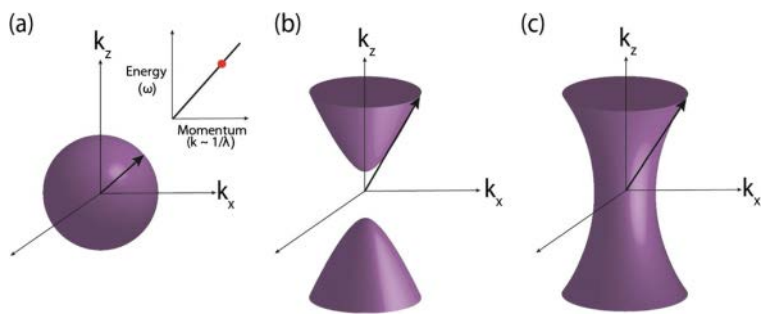
1. I.A. Kolmychek, A.R. Pomozov, A.P. Leontiev, K.S. Napolskii, T.V. Murzina. Magneto-optical effects in hyperbolic metamaterials // **Optics Letters**, 2018, v. 43(16), pp. 3917–3920.
2. A.R. Pomozov, I.A. Kolmychek, V.B. Novikov, A.P. Leontiev, K.S. Napolskii, T.V. Murzina. Second harmonic generation in hyperbolic metamaterials // **Journal of Physics**, 2018, 1092, 012058.
3. А.Р. Помозов, И.А. Колмычек, Е.А. Ганьшина, О.Ю. Волкова, А.П. Леонтьев, К.С. Напольский, Т.В. Мурзина. Оптические эффекты в магнитных гиперболических метаматериалах // **ФТТ**, 2018, т. 60, стр. 2224 – 2228.
4. O. Skryabina, S. Kozlov, S. Egorov, A. Klimenko, V. Ryazanov, S. Bakurskiy, M. Kupriyanov, N. Klenov, I. Soloviev, A. Golubov, K. Napolskii, I. Golovchansky, D. Roditchev, V. Stolyarov. Anomalous magneto-resistance of Ni-nanowire / Nb hybrid system // **Nanoscale**, 2019, submitted.
5. S. Kozlov, O. Skryabina, S. Egorov, I. Golovchanskiy, A. Klimenko, K. Napolskii, V. Stolyarov. Magnetoresistance of a single polycrystalline nickel nanowire // **Journal of Applied Physics**, 2019, submitted.



Гиперболические метаматериалы

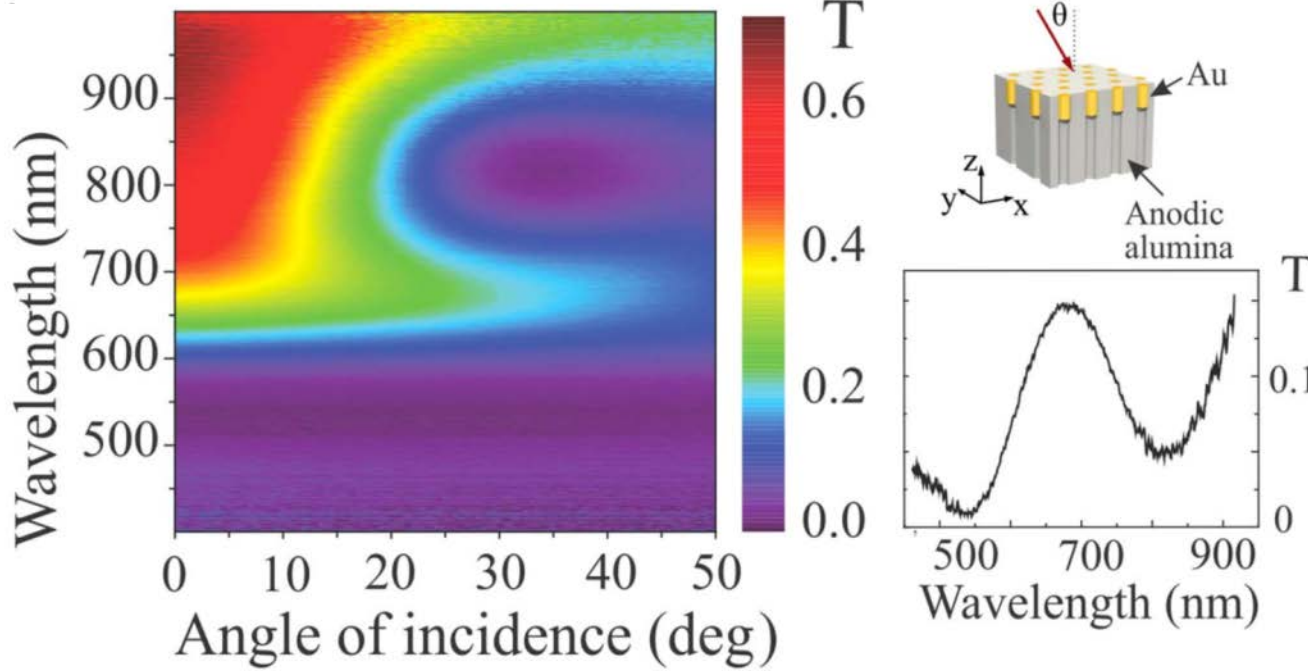


$$\frac{k_x^2 + k_y^2}{\epsilon_{||}} + \frac{k_z^2}{\epsilon_{\perp}} = \left(\frac{\omega}{c}\right)^2$$

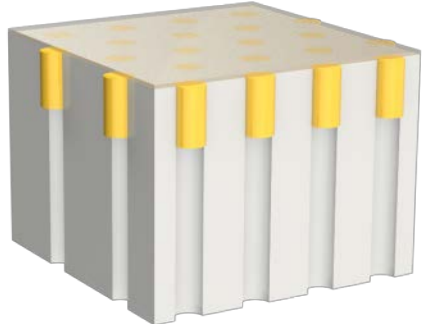


ENP – Epsilon Near Pole
ENZ – Epsilon Near Zero

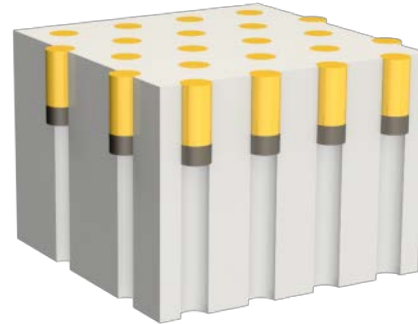
Гиперболические метаматериалы



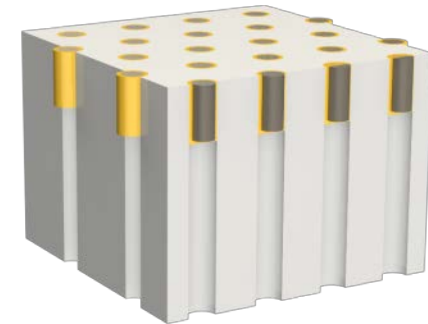
Магнитный слой



Магнитный сегмент



Магнитное ядро



I.A. Kolmychek, A.R. Pomozov, A.P. Leontiev, K.S. Napol'skii, T.V. Murzina. Magneto-optical effects in hyperbolic metamaterials // **Optics Letters**, 2018, v. 43(16), pp. 3917–3920.

Спасибо за внимание!